

Eingabe: Farbmimetrisches Reflexions-System ORS18

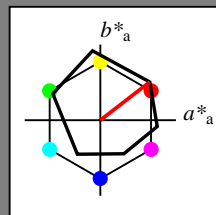
für Buntton $h^* = lab^*h = 38/360 = 0.105$

lab^*tch und lab^*nch

D65: Buntton O

LCH*Ma: 48 83 38

rgb*Ma: 1.0 0.0 0.0



ORS18; adaptierte CIELAB-Daten

	$L^*=L^*_a$	a^*_a	b^*_a	$C^*_{ab,a}$	$h^*_{ab,a}$
OMa	47.94	65.37	50.52	82.62	38
YMa	90.37	-10.27	91.77	92.34	96
LMa	50.9	-62.79	34.95	71.87	151
CMa	58.62	-30.35	-45.01	54.3	236
VMa	25.71	31.11	-44.42	54.24	305
MMa	48.13	75.27	-8.35	75.73	354
NMa	18.01	0.0	0.0	0.0	0
WMa	95.41	0.0	0.0	0.0	0
RCIE	39.92	58.66	26.98	64.56	25
JCIE	81.26	-2.17	67.76	67.79	92
GCIE	52.23	-42.26	11.75	43.87	164
BCIE	30.57	1.15	-46.84	46.87	271

Dreiecks-Helligkeit t^*

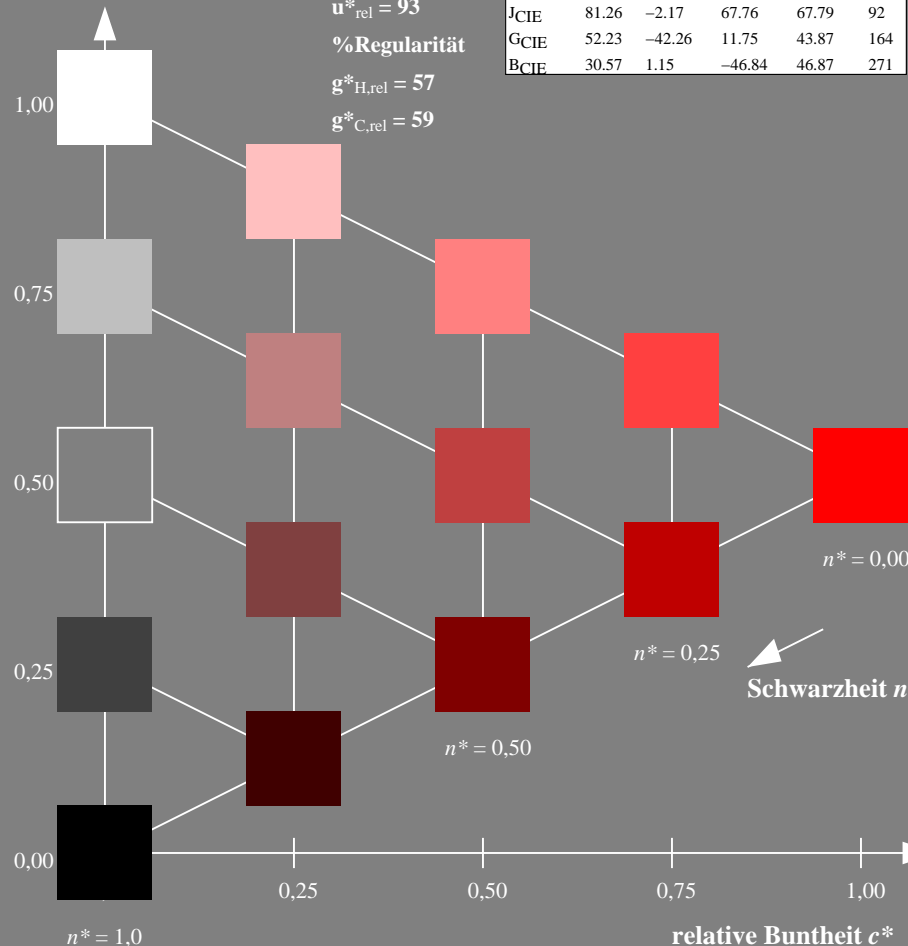
%Umfang

$u^*_{rel} = 93$

%Regularität

$g^*_{H,rel} = 57$

$g^*_{C,rel} = 59$



TG220-7, 5 stufige Reihen für konstanten CIELAB Buntton 38/360 = 0.105 (links)

Ausgabe: Farbmimetrisches Reflexions-System NRS11

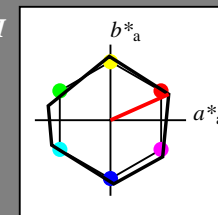
für Buntton $h^* = lab^*h = 24/360 = 0.067$

LAB^*LCH , LAB^*NCH

D65: Buntton R

LCH*Ma: 53 84 24

rgb*Ma: 1.0 0.0 0.0



NRS11; adaptierte CIELAB-Daten

	$L^*=L^*_a$	a^*_a	b^*_a	$C^*_{ab,a}$	$h^*_{ab,a}$
RMa	53.2	77.06	34.32	84.36	24
JMa	53.2	-1.51	84.38	84.39	91
GMa	53.2	-82.27	18.98	84.44	167
G50BMa	53.2	-77.72	-32.98	84.44	203
BMa	53.2	4.37	-84.28	84.41	273
B50RMa	53.2	69.09	-48.41	84.37	325
NMa	10.99	0.0	0.0	0.0	0
WMa	95.41	0.0	0.0	0.0	0
RCIE	39.92	58.69	27.98	65.01	25
JCIE	81.26	-2.9	71.56	71.62	92
GCIE	52.23	-42.45	13.59	44.59	162
BCIE	30.57	1.35	-46.48	46.51	272

CIELAB-Helligkeit L^*

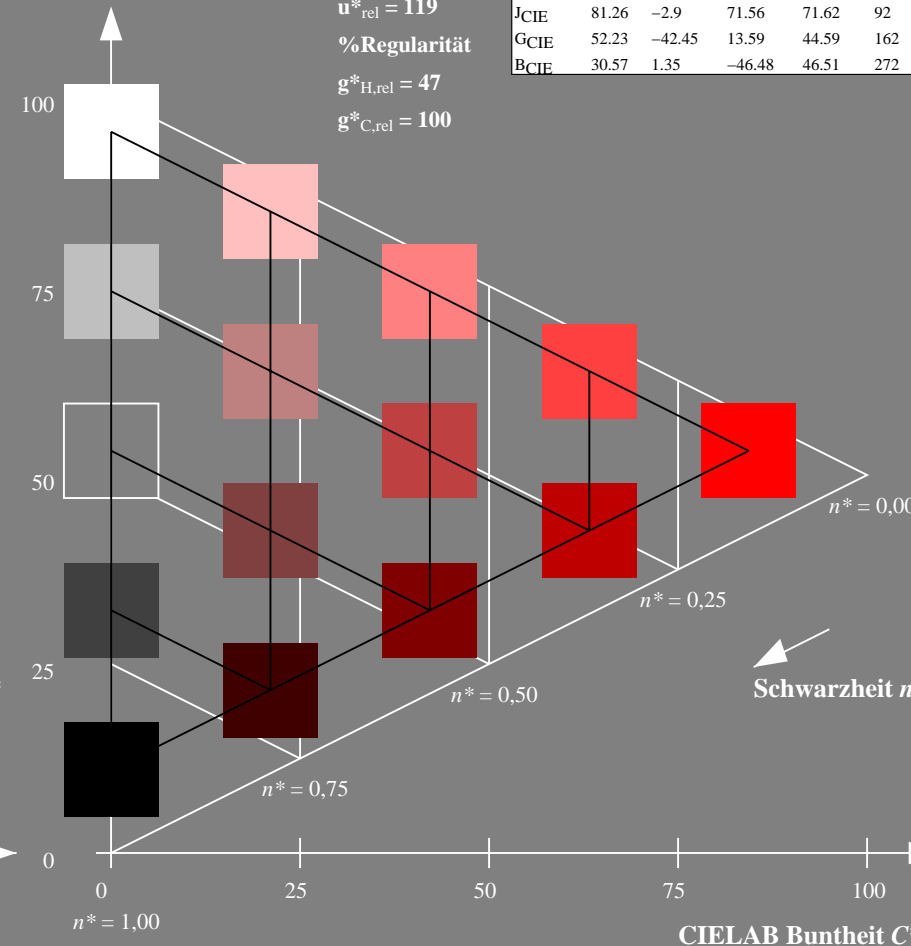
%Umfang

$u^*_{rel} = 119$

%Regularität

$g^*_{H,rel} = 47$

$g^*_{C,rel} = 100$



5 stufige Reihen für konstanten CIELAB Buntton 24/360 = 0.067 (rechts)

BAM-Prüfvorlage TG22; Farbmimetrische Systeme ORS18 & NRS11 input: $olv^* setrgbcolor$

D65: Koordinaten-Systeme von 5stufigen Farbreihen für 10 Bunttonen input: no change compared to input

Eingabe: Farbmimetrisches Reflexions-System ORS18

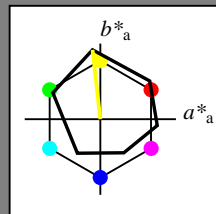
für Buntton $h^* = lab \cdot h = 96/360 = 0.268$

$lab \cdot tch$ und $lab \cdot nch$

D65: Buntton Y

LCH*Ma: 90 92 96

rgb*Ma: 1.0 1.0 0.0



ORS18; adaptierte CIELAB-Daten

	$L^*=L^*_a$	a^*_a	b^*_a	$C^*_{ab,a}$	$h^*_{ab,a}$
OMa	47.94	65.37	50.52	82.62	38
YMa	90.37	-10.27	91.77	92.34	96
LMa	50.9	-62.79	34.95	71.87	151
CMa	58.62	-30.35	-45.01	54.3	236
VMa	25.71	31.11	-44.42	54.24	305
MMa	48.13	75.27	-8.35	75.73	354
NMa	18.01	0.0	0.0	0.0	0
WMa	95.41	0.0	0.0	0.0	0
RCIE	39.92	58.66	26.98	64.56	25
JCIE	81.26	-2.17	67.76	67.79	92
GCIE	52.23	-42.26	11.75	43.87	164
BCIE	30.57	1.15	-46.84	46.87	271

Dreiecks-Helligkeit t^*

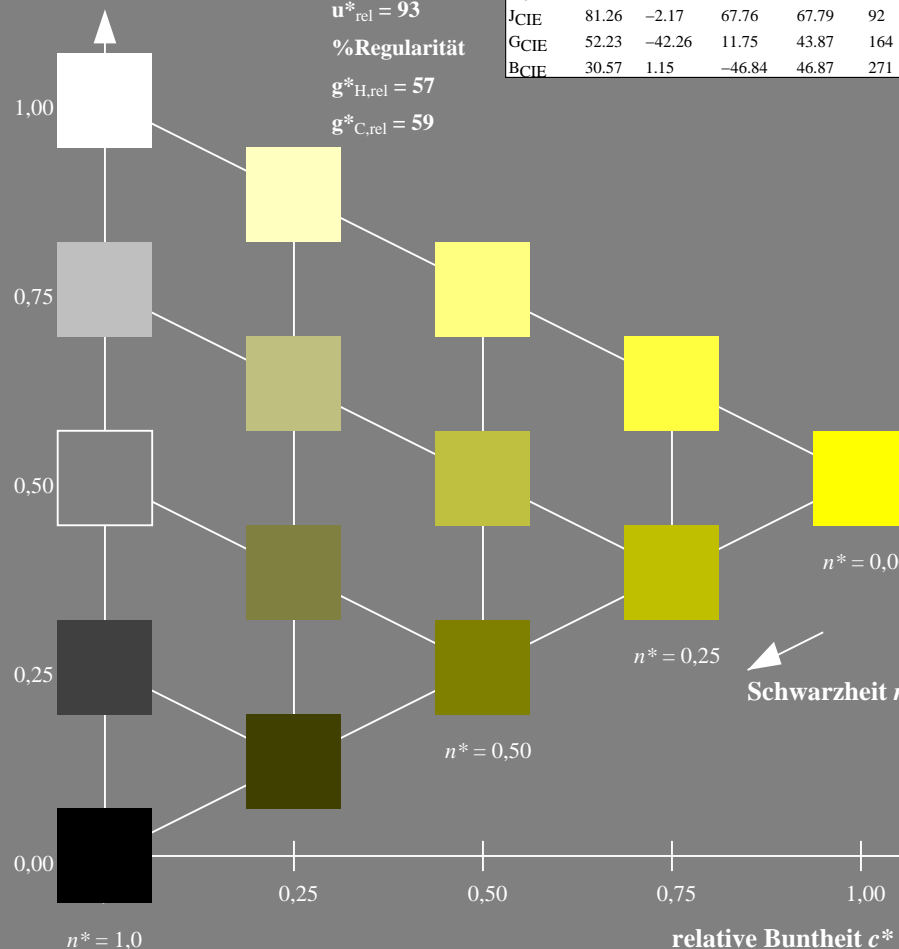
%Umfang

$u^*_{rel} = 93$

%Regularität

$g^*_{H,rel} = 57$

$g^*_{C,rel} = 59$



TG220-7, 5 stufige Reihen für konstanten CIELAB Buntton $96/360 = 0.268$ (links)

Ausgabe: Farbmimetrisches Reflexions-System NRS11

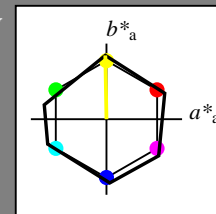
für Buntton $h^* = lab \cdot h = 91/360 = 0.253$

$LAB \cdot LCH$, $LAB \cdot NCH$

D65: Buntton J

LCH*Ma: 53 84 91

rgb*Ma: 1.0 1.0 0.0



NRS11; adaptierte CIELAB-Daten

	$L^*=L^*_a$	a^*_a	b^*_a	$C^*_{ab,a}$	$h^*_{ab,a}$
RMa	53.2	77.06	34.32	84.36	24
JMa	53.2	-1.51	84.38	84.39	91
GMa	53.2	-82.27	18.98	84.44	167
G50BMa	53.2	-77.72	-32.98	84.44	203
BMa	53.2	4.37	-84.28	84.41	273
B50RMa	53.2	69.09	-48.41	84.37	325
NMa	10.99	0.0	0.0	0.0	0
WMa	95.41	0.0	0.0	0.0	0
RCIE	39.92	58.69	27.98	65.01	25
JCIE	81.26	-2.9	71.56	71.62	92
GCIE	52.23	-42.45	13.59	44.59	162
BCIE	30.57	1.35	-46.48	46.51	272

CIELAB-Helligkeit L^*

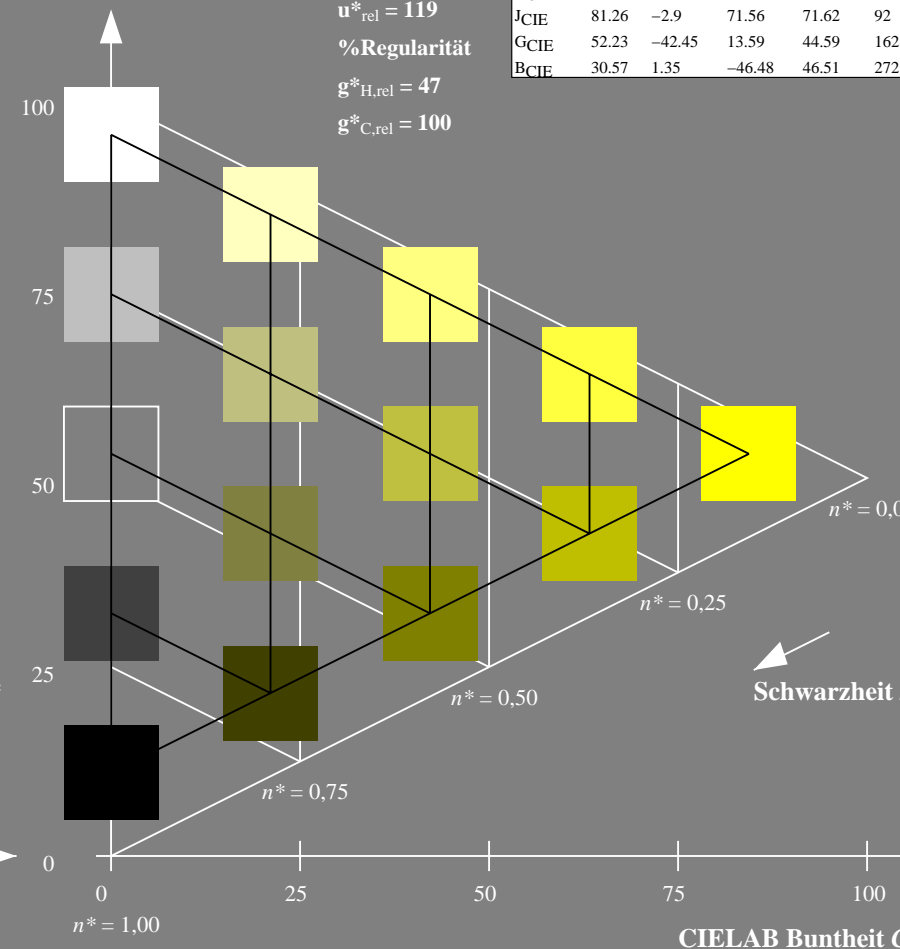
%Umfang

$u^*_{rel} = 119$

%Regularität

$g^*_{H,rel} = 47$

$g^*_{C,rel} = 100$



5 stufige Reihen für konstanten CIELAB Buntton $91/360 = 0.253$ (rechts)

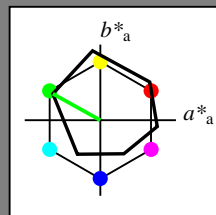
BAM-Prüfvorlage TG22; Farbmimetrische Systeme ORS18 & NRS11 input: $olv^* setrgbcolor$

D65: Koordinaten-Systeme von 5stufigen Farbreihen für 10 Buntton input: no change compared to input

Eingabe: Farbmimetrisches Reflexions-System ORS18

für Buntton $h^* = lab^*h = 151/360 = 0.419$
 lab^*tch und lab^*nch

D65: Buntton L
LCH*Ma: 51 72 151
rgb*Ma: 0.0 1.0 0.0



ORS18; adaptierte CIELAB-Daten

	$L^*=L^*_a$	a^*_a	b^*_a	$C^*_{ab,a}$	$h^*_{ab,a}$
OMa	47.94	65.37	50.52	82.62	38
YMa	90.37	-10.27	91.77	92.34	96
LMa	50.9	-62.79	34.95	71.87	151
CMa	58.62	-30.35	-45.01	54.3	236
VMa	25.71	31.11	-44.42	54.24	305
MMa	48.13	75.27	-8.35	75.73	354
NMa	18.01	0.0	0.0	0.0	0
WMa	95.41	0.0	0.0	0.0	0
RCIE	39.92	58.66	26.98	64.56	25
JCIE	81.26	-2.17	67.76	67.79	92
GCIE	52.23	-42.26	11.75	43.87	164
BCIE	30.57	1.15	-46.84	46.87	271

Dreiecks-Helligkeit t^*

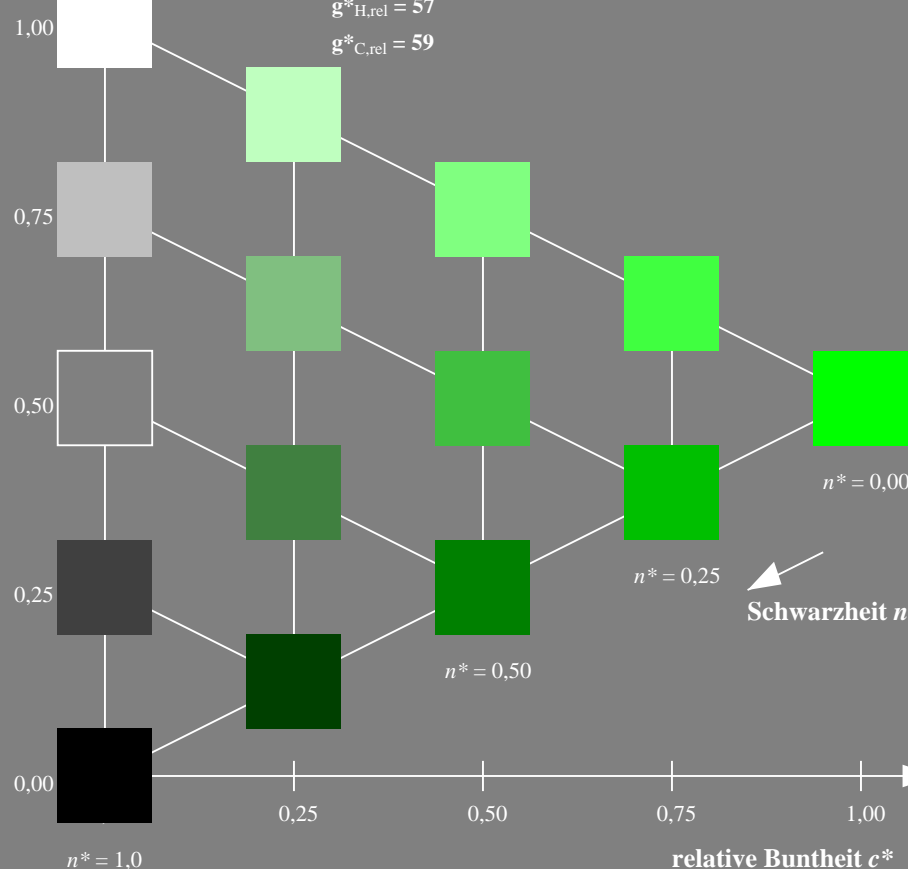
%Umfang

$u^*_{rel} = 93$

%Regularität

$g^*_{H,rel} = 57$

$g^*_{C,rel} = 59$

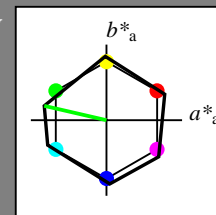


TG220-7, 5 stufige Reihen für konstanten CIELAB Buntton 151/360 = 0.419 (links)

Ausgabe: Farbmimetrisches Reflexions-System NRS11

für Buntton $h^* = lab^*h = 167/360 = 0.464$
 LAB^*LCH , LAB^*NCH

D65: Buntton G
LCH*Ma: 53 84 167
rgb*Ma: 0.0 1.0 0.0



NRS11; adaptierte CIELAB-Daten

	$L^*=L^*_a$	a^*_a	b^*_a	$C^*_{ab,a}$	$h^*_{ab,a}$
RMa	53.2	77.06	34.32	84.36	24
JMa	53.2	-1.51	84.38	84.39	91
GMa	53.2	-82.27	18.98	84.44	167
G50BMa	53.2	-77.72	-32.98	84.44	203
BMa	53.2	4.37	-84.28	84.41	273
B50RMa	53.2	69.09	-48.41	84.37	325
NMa	10.99	0.0	0.0	0.0	0
WMa	95.41	0.0	0.0	0.0	0
RCIE	39.92	58.69	27.98	65.01	25
JCIE	81.26	-2.9	71.56	71.62	92
GCIE	52.23	-42.45	13.59	44.59	162
BCIE	30.57	1.35	-46.48	46.51	272

CIELAB-Helligkeit L^*

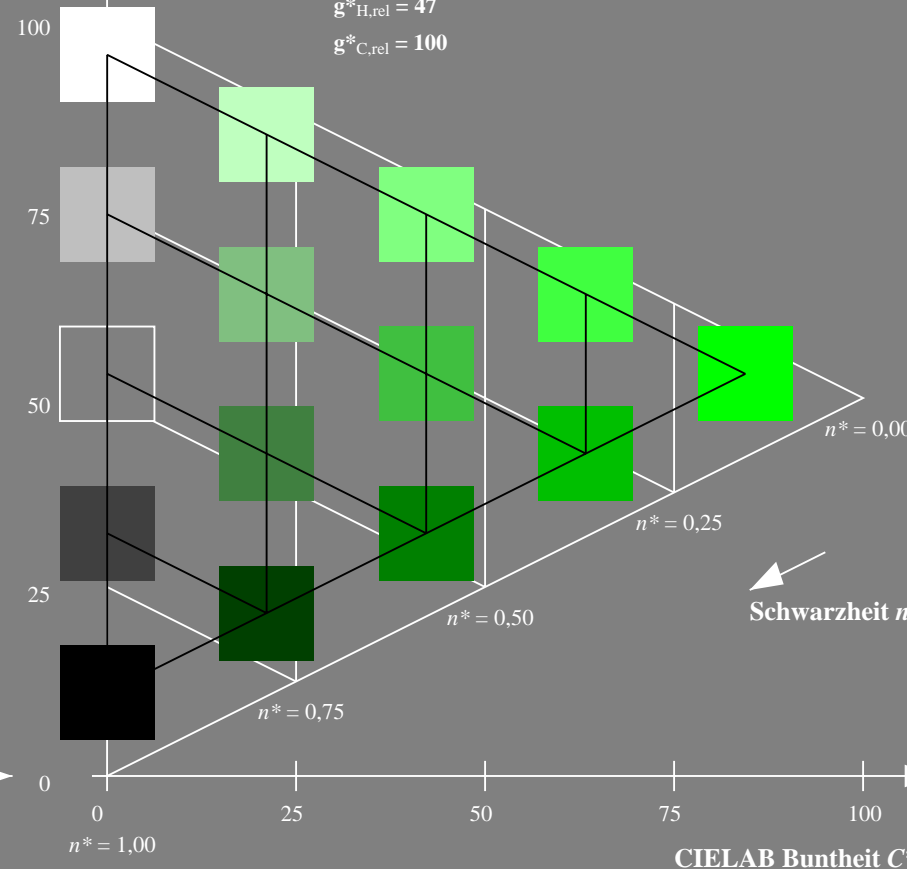
%Umfang

$u^*_{rel} = 119$

%Regularität

$g^*_{H,rel} = 47$

$g^*_{C,rel} = 100$



5 stufige Reihen für konstanten CIELAB Buntton 167/360 = 0.464 (rechts)

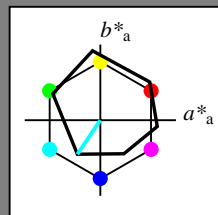
BAM-Prüfvorlage TG22; Farbmimetrische Systeme ORS18 & NRS11 input: $olv^* setrgbcolor$

D65: Koordinaten-Systeme von 5stufigen Farbreihen für 10 Bunttonen input: no change compared to input

Eingabe: Farbmétrisches Reflexions-System ORS18

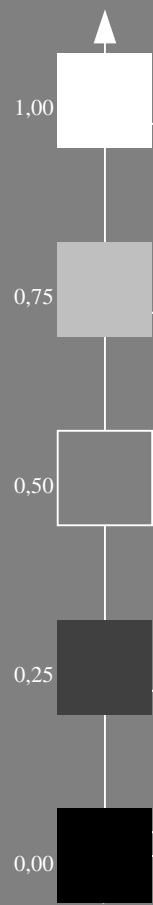
für Buntton $h^* = lab \cdot h = 236/360 = 0.656$
 $lab \cdot tch$ und $lab \cdot nch$

D65: Buntton C
LCH*Ma: 59 54 236
rgb*Ma: 0.0 1.0 1.0



ORS18; adaptierte CIELAB-Daten					
	$L^*=L^*_a$	a^*_a	b^*_a	$C^*_{ab,a}$	$h^*_{ab,a}$
OMa	47.94	65.37	50.52	82.62	38
YMa	90.37	-10.27	91.77	92.34	96
LMa	50.9	-62.79	34.95	71.87	151
CMa	58.62	-30.35	-45.01	54.3	236
VMa	25.71	31.11	-44.42	54.24	305
MMa	48.13	75.27	-8.35	75.73	354
NMa	18.01	0.0	0.0	0.0	0
WMa	95.41	0.0	0.0	0.0	0
RCIE	39.92	58.66	26.98	64.56	25
JCIE	81.26	-2.17	67.76	67.79	92
GCIE	52.23	-42.26	11.75	43.87	164
BCIE	30.57	1.15	-46.84	46.87	271

Dreiecks-Helligkeit t^*

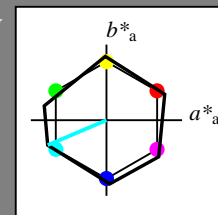


%Umfang
 $u^*_{rel} = 93$
%Regularität
 $g^*_{H,rel} = 57$
 $g^*_{C,rel} = 59$

Ausgabe: Farbmétrisches Reflexions-System NRS11

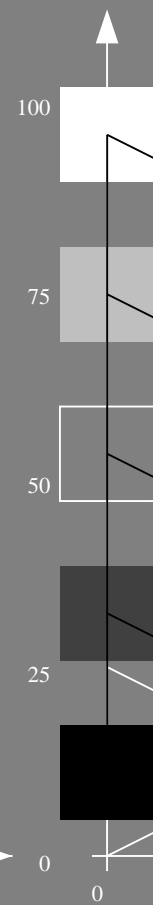
für Buntton $h^* = lab \cdot h = 203/360 = 0.564$
 $LAB \cdot LCH$, $LAB \cdot NCH$

D65: Buntton G50B
LCH*Ma: 53 84 203
rgb*Ma: 0.0 1.0 1.0



NRS11; adaptierte CIELAB-Daten					
	$L^*=L^*_a$	a^*_a	b^*_a	$C^*_{ab,a}$	$h^*_{ab,a}$
RMa	53.2	77.06	34.32	84.36	24
JMa	53.2	-1.51	84.38	84.39	91
GMa	53.2	-82.27	18.98	84.44	167
G50BMa	53.2	-77.72	-32.98	84.44	203
BMa	53.2	4.37	-84.28	84.41	273
B50RMa	53.2	69.09	-48.41	84.37	325
NMa	10.99	0.0	0.0	0.0	0
WMa	95.41	0.0	0.0	0.0	0
RCIE	39.92	58.69	27.98	65.01	25
JCIE	81.26	-2.9	71.56	71.62	92
GCIE	52.23	-42.45	13.59	44.59	162
BCIE	30.57	1.35	-46.48	46.51	272

CIELAB-Helligkeit L^*



%Umfang
 $u^*_{rel} = 119$
%Regularität
 $g^*_{H,rel} = 47$
 $g^*_{C,rel} = 100$

TG220-7, 5 stufige Reihen für konstanten CIELAB Buntton $236/360 = 0.656$ (links)

5 stufige Reihen für konstanten CIELAB Buntton $203/360 = 0.564$ (rechts)

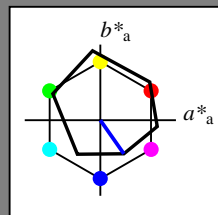
BAM-Prüfvorlage TG22; Farbmétrik-Systeme ORS18 & NRS11 input: $olv^* setrgbcolor$

D65: Koordinaten-Systeme von 5stufigen Farbreihen für 10 Bunttonen input: no change compared to input

Eingabe: Farbmimetrisches Reflexions-System ORS18

für Buntton $h^* = lab^*h = 305/360 = 0.847$
 lab^*tch und lab^*nch

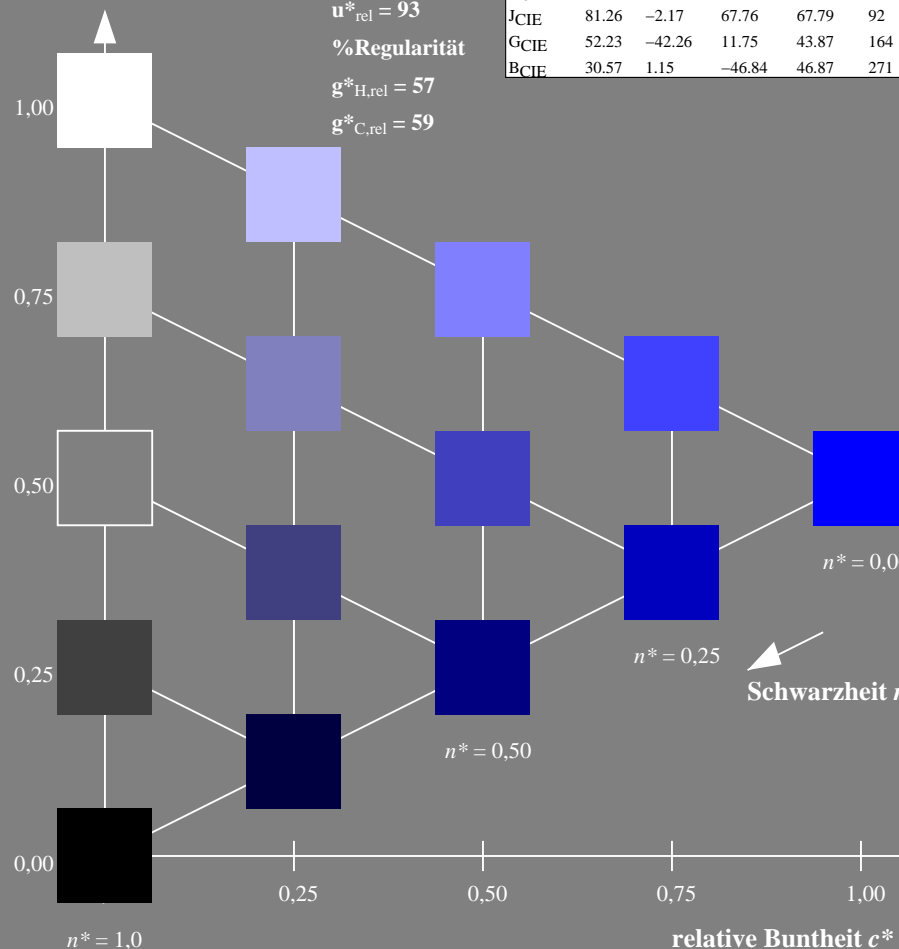
D65: Buntton V
LCH*Ma: 26 54 305
rgb*Ma: 0.0 0.0 1.0



ORS18; adaptierte CIELAB-Daten					
	$L^*=L^*_a$	a^*_a	b^*_a	$C^*_{ab,a}$	$h^*_{ab,a}$
OMa	47.94	65.37	50.52	82.62	38
YMa	90.37	-10.27	91.77	92.34	96
LMa	50.9	-62.79	34.95	71.87	151
CMa	58.62	-30.35	-45.01	54.3	236
VMa	25.71	31.11	-44.42	54.24	305
MMa	48.13	75.27	-8.35	75.73	354
NMa	18.01	0.0	0.0	0.0	0
WMa	95.41	0.0	0.0	0.0	0
RCIE	39.92	58.66	26.98	64.56	25
JCIE	81.26	-2.17	67.76	67.79	92
GCIE	52.23	-42.26	11.75	43.87	164
BCIE	30.57	1.15	-46.84	46.87	271

Dreiecks-Helligkeit t^*

%Umfang
 $u^*_{rel} = 93$
%Regularität
 $g^*_{H,rel} = 57$
 $g^*_{C,rel} = 59$

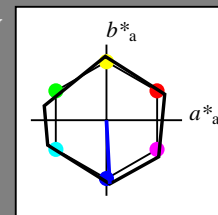


TG220-7, 5 stufige Reihen für konstanten CIELAB Buntton 305/360 = 0.847 (links)

Ausgabe: Farbmimetrisches Reflexions-System NRS11

für Buntton $h^* = lab^*h = 273/360 = 0.758$
 LAB^*LCH , LAB^*NCH

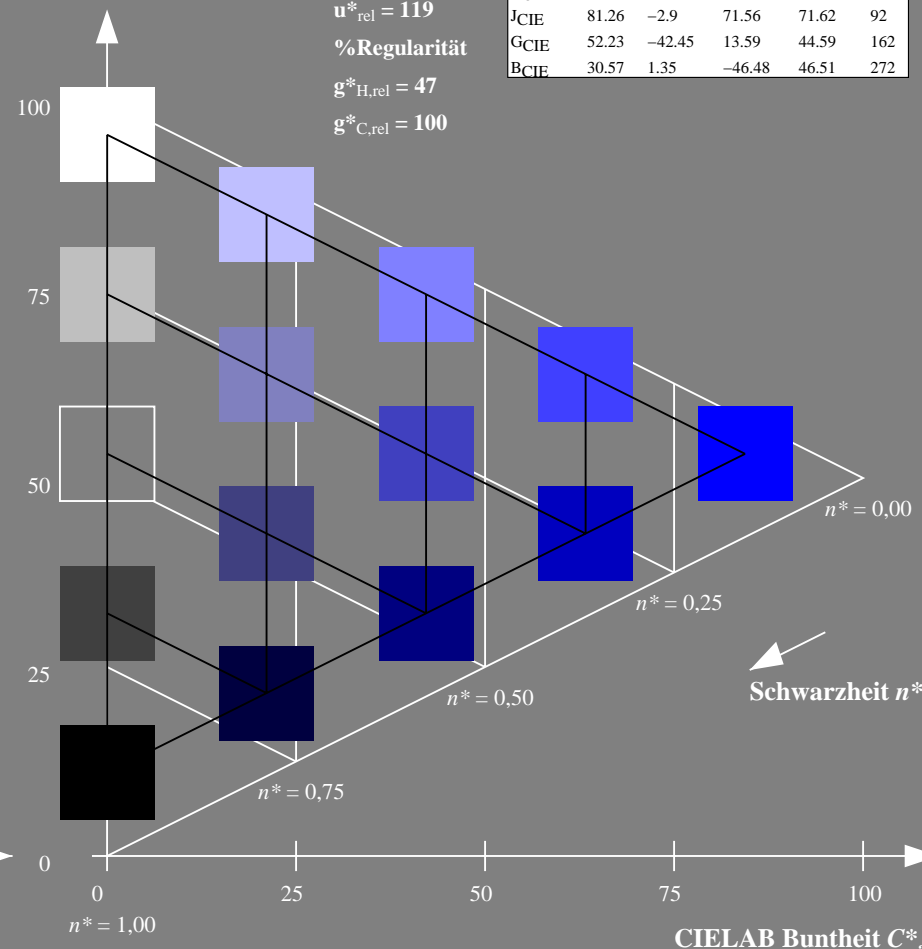
D65: Buntton B
LCH*Ma: 53 84 273
rgb*Ma: 0.0 0.0 1.0



NRS11; adaptierte CIELAB-Daten					
	$L^*=L^*_a$	a^*_a	b^*_a	$C^*_{ab,a}$	$h^*_{ab,a}$
RMa	53.2	77.06	34.32	84.36	24
JMa	53.2	-1.51	84.38	84.39	91
GMa	53.2	-82.27	18.98	84.44	167
G50BMa	53.2	-77.72	-32.98	84.44	203
BMa	53.2	4.37	-84.28	84.41	273
B50RMa	53.2	69.09	-48.41	84.37	325
NMa	10.99	0.0	0.0	0.0	0
WMa	95.41	0.0	0.0	0.0	0
RCIE	39.92	58.69	27.98	65.01	25
JCIE	81.26	-2.9	71.56	71.62	92
GCIE	52.23	-42.45	13.59	44.59	162
BCIE	30.57	1.35	-46.48	46.51	272

CIELAB-Helligkeit L^*

%Umfang
 $u^*_{rel} = 119$
%Regularität
 $g^*_{H,rel} = 47$
 $g^*_{C,rel} = 100$



5 stufige Reihen für konstanten CIELAB Buntton 273/360 = 0.758 (rechts)

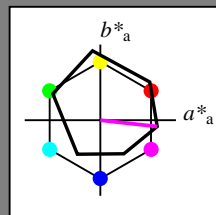
BAM-Prüfvorlage TG22; Farbmimetrik-Systeme ORS18 & NRS11 input: $olv^* setrgbcolor$

D65: Koordinaten-Systeme von 5stufigen Farbreihen für 10 Bunttonen input: no change compared to input

Eingabe: Farbmimetrisches Reflexions-System ORS18

für Buntton $h^* = lab^*h = 354/360 = 0.982$
 lab^*tch und lab^*nch

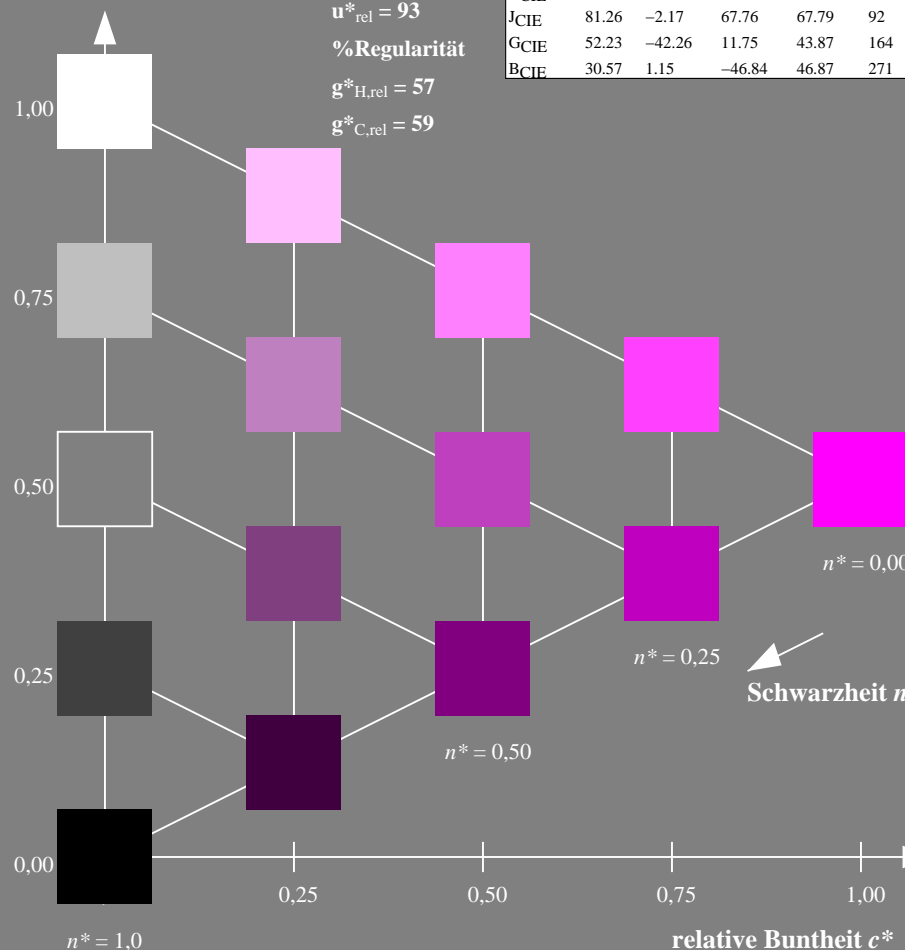
D65: Buntton M
LCH*Ma: 48 76 354
rgb*Ma: 1.0 0.0 1.0



ORS18; adaptierte CIELAB-Daten					
	$L^*=L^*_a$	a^*_a	b^*_a	$C^*_{ab,a}$	$h^*_{ab,a}$
OMa	47.94	65.37	50.52	82.62	38
YMa	90.37	-10.27	91.77	92.34	96
LMa	50.9	-62.79	34.95	71.87	151
CMa	58.62	-30.35	-45.01	54.3	236
VMa	25.71	31.11	-44.42	54.24	305
MMa	48.13	75.27	-8.35	75.73	354
NMa	18.01	0.0	0.0	0.0	0
WMa	95.41	0.0	0.0	0.0	0
RCIE	39.92	58.66	26.98	64.56	25
JCIE	81.26	-2.17	67.76	67.79	92
GCIE	52.23	-42.26	11.75	43.87	164
BCIE	30.57	1.15	-46.84	46.87	271

Dreiecks-Helligkeit t^*

%Umfang
 $u^*_{rel} = 93$
%Regularität
 $g^*_{H,rel} = 57$
 $g^*_{C,rel} = 59$

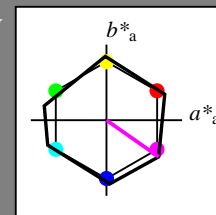


TG220-7, 5 stufige Reihen für konstanten CIELAB Buntton 354/360 = 0.982 (links)

Ausgabe: Farbmimetrisches Reflexions-System NRS11

für Buntton $h^* = lab^*h = 325/360 = 0.903$
 LAB^*LCH , LAB^*NCH

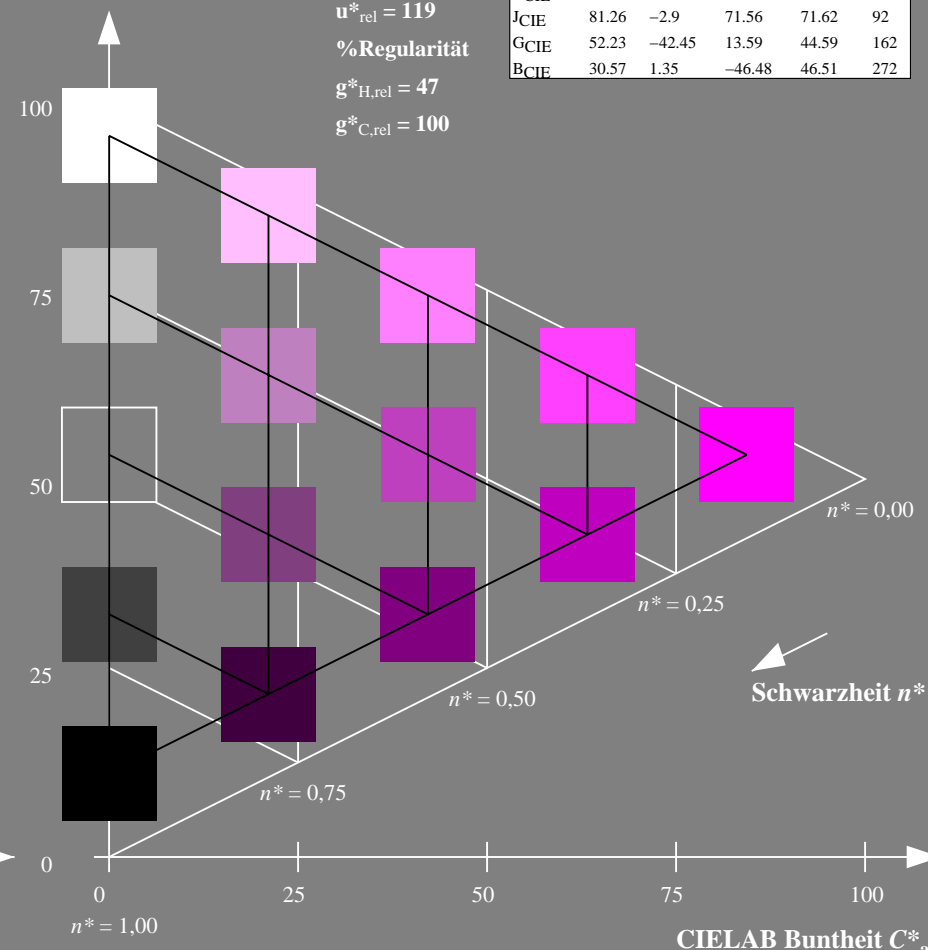
D65: Buntton B50R
LCH*Ma: 53 84 325
rgb*Ma: 1.0 0.0 1.0



NRS11; adaptierte CIELAB-Daten					
	$L^*=L^*_a$	a^*_a	b^*_a	$C^*_{ab,a}$	$h^*_{ab,a}$
RMa	53.2	77.06	34.32	84.36	24
JMa	53.2	-1.51	84.38	84.39	91
GMa	53.2	-82.27	18.98	84.44	167
G50BMa	53.2	-77.72	-32.98	84.44	203
BMa	53.2	4.37	-84.28	84.41	273
B50RMa	53.2	69.09	-48.41	84.37	325
NMa	10.99	0.0	0.0	0.0	0
WMa	95.41	0.0	0.0	0.0	0
RCIE	39.92	58.69	27.98	65.01	25
JCIE	81.26	-2.9	71.56	71.62	92
GCIE	52.23	-42.45	13.59	44.59	162
BCIE	30.57	1.35	-46.48	46.51	272

CIELAB-Helligkeit L^*

%Umfang
 $u^*_{rel} = 119$
%Regularität
 $g^*_{H,rel} = 47$
 $g^*_{C,rel} = 100$



5 stufige Reihen für konstanten CIELAB Buntton 325/360 = 0.903 (rechts)

BAM-Prüfvorlage TG22; Farbmimetrische Systeme ORS18 & NRS11 input: $olv^*setrgbcolor$

D65: Koordinaten-Systeme von 5stufigen Farbreihen für 10 Bunttonen input: no change compared to input

Eingabe: Farbmimetrisches Reflexions-System ORS18

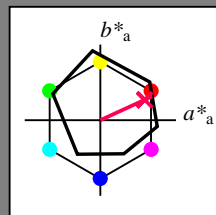
für Buntton $h^* = lab^*h = 25/360 = 0.069$

lab^*tch und lab^*nch

D65: Buntton R

LCH*Ma: 48 75 25

rgb*Ma: 1.0 0.0 0.32



ORS18; adaptierte CIELAB-Daten

	$L^*=L^*_a$	a^*_a	b^*_a	$C^*_{ab,a}$	$h^*_{ab,a}$
OMa	47.94	65.37	50.52	82.62	38
YMa	90.37	-10.27	91.77	92.34	96
LMa	50.9	-62.79	34.95	71.87	151
CMa	58.62	-30.35	-45.01	54.3	236
VMa	25.71	31.11	-44.42	54.24	305
MMa	48.13	75.27	-8.35	75.73	354
NMa	18.01	0.0	0.0	0.0	0
WMa	95.41	0.0	0.0	0.0	0
RCIE	39.92	58.66	26.98	64.56	25
JCIE	81.26	-2.17	67.76	67.79	92
GCIE	52.23	-42.26	11.75	43.87	164
BCIE	30.57	1.15	-46.84	46.87	271

Dreiecks-Helligkeit t^*

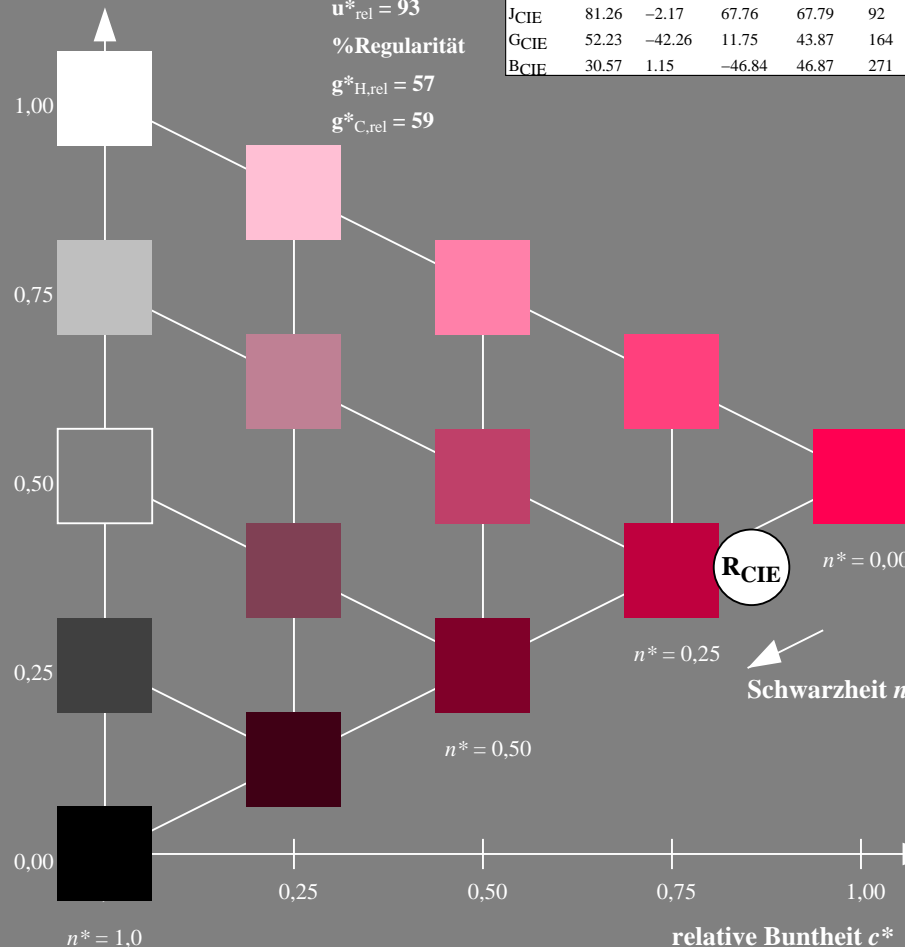
%Umfang

$u^*_{rel} = 93$

%Regularität

$g^*_{H,rel} = 57$

$g^*_{C,rel} = 59$



TG220-7, 5 stufige Reihen für konstanten CIELAB Buntton 25/360 = 0.069 (links)

Ausgabe: Farbmimetrisches Reflexions-System NRS11

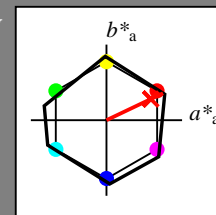
für Buntton $h^* = lab^*h = 25/360 = 0.071$

LAB^*LCH , LAB^*NCH

D65: Buntton R

LCH*Ma: 53 83 25

rgb*Ma: 1.0 0.03 0.0



NRS11; adaptierte CIELAB-Daten

	$L^*=L^*_a$	a^*_a	b^*_a	$C^*_{ab,a}$	$h^*_{ab,a}$
RMa	53.2	77.06	34.32	84.36	24
JMa	53.2	-1.51	84.38	84.39	91
GMa	53.2	-82.27	18.98	84.44	167
G50BMa	53.2	-77.72	-32.98	84.44	203
BMa	53.2	4.37	-84.28	84.41	273
B50RMa	53.2	69.09	-48.41	84.37	325
NMa	10.99	0.0	0.0	0.0	0
WMa	95.41	0.0	0.0	0.0	0
RCIE	39.92	58.69	27.98	65.01	25
JCIE	81.26	-2.9	71.56	71.62	92
GCIE	52.23	-42.45	13.59	44.59	162
BCIE	30.57	1.35	-46.48	46.51	272

CIELAB-Helligkeit L^*

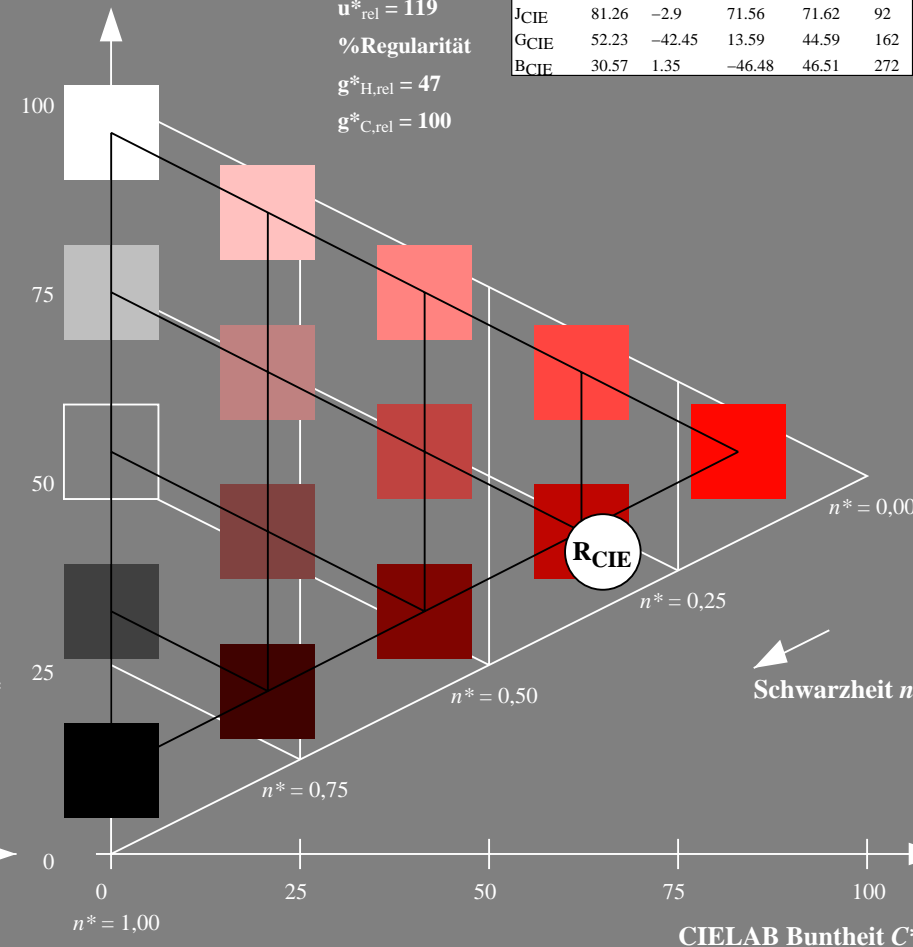
%Umfang

$u^*_{rel} = 119$

%Regularität

$g^*_{H,rel} = 47$

$g^*_{C,rel} = 100$



5 stufige Reihen für konstanten CIELAB Buntton 25/360 = 0.071 (rechts)

BAM-Prüfvorlage TG22; Farbmimetrik-Systeme ORS18 & NRS11 input: $olv^* setrgbcolor$

D65: Koordinaten-Systeme von 5stufigen Farbreihen für 10 Buntton input: no change compared to input

Eingabe: Farbmimetrisches Reflexions-System ORS18

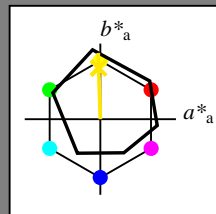
für Buntton $h^* = lab \cdot h = 92/360 = 0.255$

$lab \cdot tch$ und $lab \cdot nch$

D65: Buntton J

LCH*Ma: 86 88 92

rgb*Ma: 1.0 0.9 0.0



ORS18; adaptierte CIELAB-Daten

	$L^*=L^*_a$	a^*_a	b^*_a	$C^*_{ab,a}$	$h^*_{ab,a}$
OMa	47.94	65.37	50.52	82.62	38
YMa	90.37	-10.27	91.77	92.34	96
LMa	50.9	-62.79	34.95	71.87	151
CMa	58.62	-30.35	-45.01	54.3	236
VMa	25.71	31.11	-44.42	54.24	305
MMa	48.13	75.27	-8.35	75.73	354
NMa	18.01	0.0	0.0	0.0	0
WMa	95.41	0.0	0.0	0.0	0
RCIE	39.92	58.66	26.98	64.56	25
JCIE	81.26	-2.17	67.76	67.79	92
GCIE	52.23	-42.26	11.75	43.87	164
BCIE	30.57	1.15	-46.84	46.87	271

Dreiecks-Helligkeit t^*

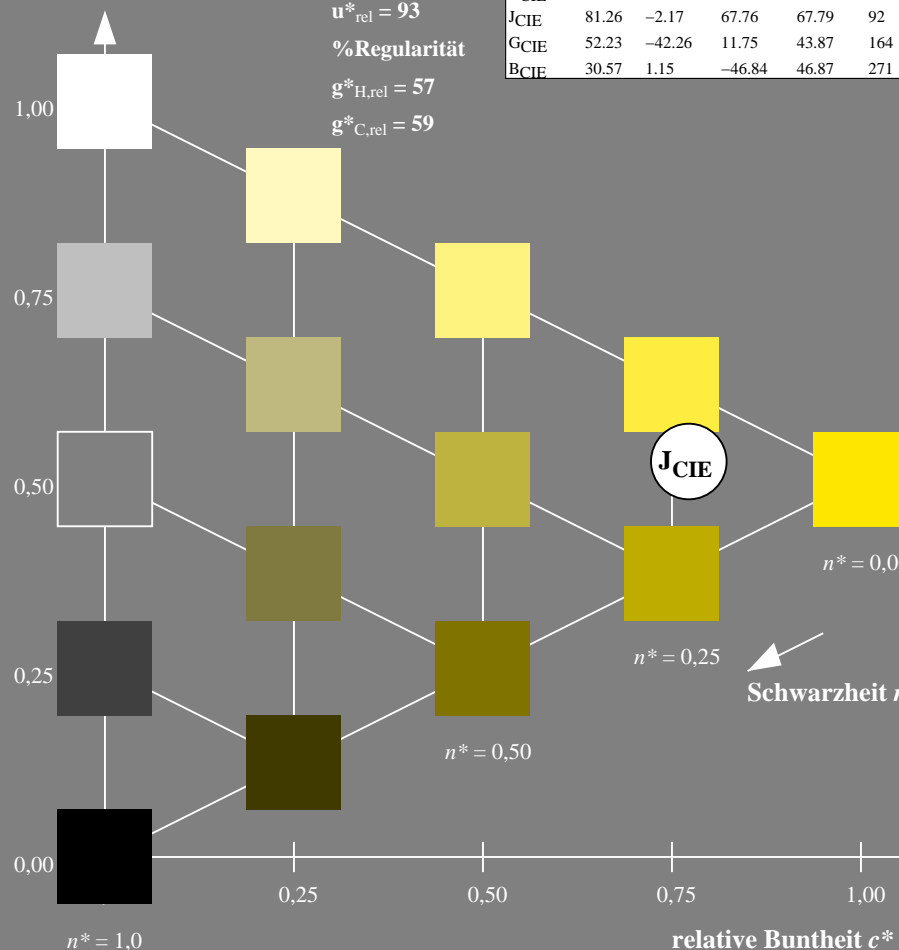
%Umfang

$u^*_{rel} = 93$

%Regularität

$g^*_{H,rel} = 57$

$g^*_{C,rel} = 59$



TG220-7, 5 stufige Reihen für konstanten CIELAB Buntton $92/360 = 0.255$ (links)

Ausgabe: Farbmimetrisches Reflexions-System NRS11

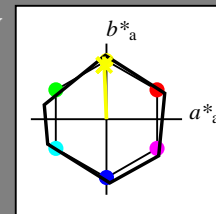
für Buntton $h^* = lab \cdot h = 92/360 = 0.256$

$LAB \cdot LCH$, $LAB \cdot NCH$

D65: Buntton J

LCH*Ma: 53 83 92

rgb*Ma: 0.98 1.0 0.0



NRS11; adaptierte CIELAB-Daten

	$L^*=L^*_a$	a^*_a	b^*_a	$C^*_{ab,a}$	$h^*_{ab,a}$
RMa	53.2	77.06	34.32	84.36	24
JMa	53.2	-1.51	84.38	84.39	91
GMa	53.2	-82.27	18.98	84.44	167
G50BMa	53.2	-77.72	-32.98	84.44	203
BMa	53.2	4.37	-84.28	84.41	273
B50RMa	53.2	69.09	-48.41	84.37	325
NMa	10.99	0.0	0.0	0.0	0
WMa	95.41	0.0	0.0	0.0	0
RCIE	39.92	58.69	27.98	65.01	25
JCIE	81.26	-2.9	71.56	71.62	92
GCIE	52.23	-42.45	13.59	44.59	162
BCIE	30.57	1.35	-46.48	46.51	272

CIELAB-Helligkeit L^*

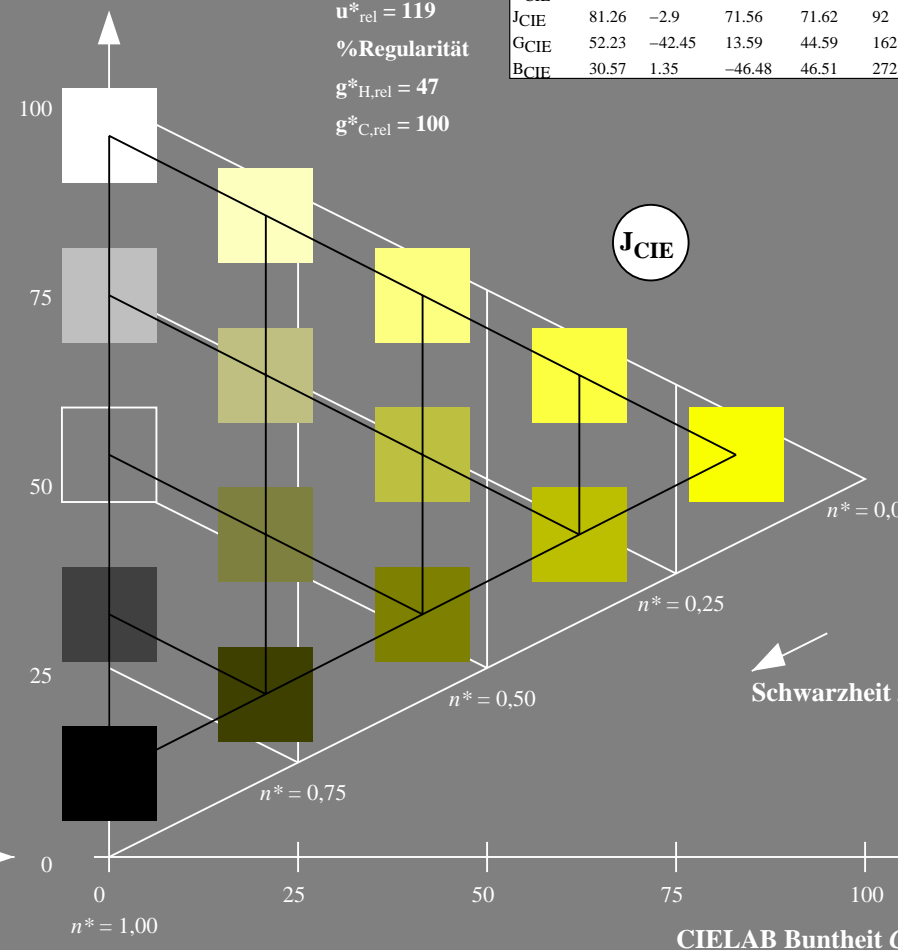
%Umfang

$u^*_{rel} = 119$

%Regularität

$g^*_{H,rel} = 47$

$g^*_{C,rel} = 100$



5 stufige Reihen für konstanten CIELAB Buntton $92/360 = 0.256$ (rechts)

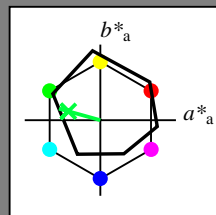
BAM-Prüfvorlage TG22; Farbmimetrische Systeme ORS18 & NRS11 input: $olv^* setrgbcolor$

D65: Koordinaten-Systeme von 5stufigen Farbreihen für 10 Buntton input: no change compared to input

Eingabe: Farbmimetrisches Reflexions-System ORS18

für Buntton $h^* = lab^*h = 164/360 = 0.457$
 lab^*tch und lab^*nch

D65: Buntton G
LCH*Ma: 53 57 164
rgb*Ma: 0.0 1.0 0.25



ORS18; adaptierte CIELAB-Daten

	$L^*=L^*_a$	a^*_a	b^*_a	$C^*_{ab,a}$	$h^*_{ab,a}$
OMa	47.94	65.37	50.52	82.62	38
YMa	90.37	-10.27	91.77	92.34	96
LMa	50.9	-62.79	34.95	71.87	151
CMa	58.62	-30.35	-45.01	54.3	236
VMa	25.71	31.11	-44.42	54.24	305
MMa	48.13	75.27	-8.35	75.73	354
NMa	18.01	0.0	0.0	0.0	0
WMa	95.41	0.0	0.0	0.0	0
RCIE	39.92	58.66	26.98	64.56	25
JCIE	81.26	-2.17	67.76	67.79	92
GCIE	52.23	-42.26	11.75	43.87	164
BCIE	30.57	1.15	-46.84	46.87	271

Dreiecks-Helligkeit t^*

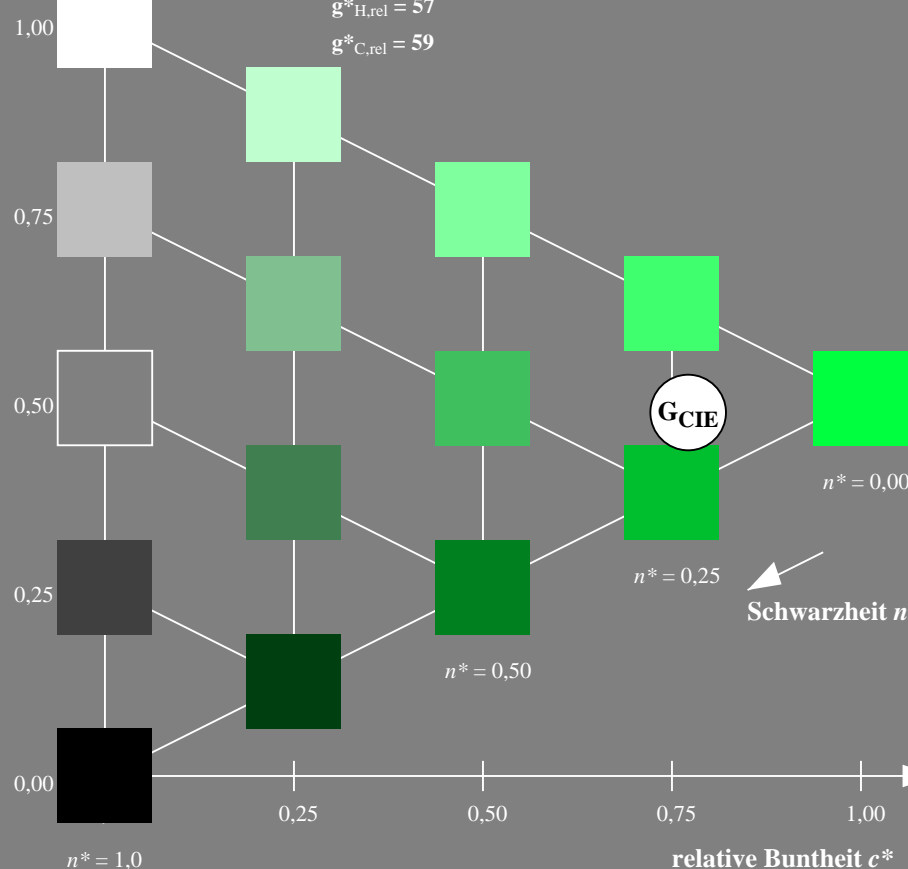
%Umfang

$u^*_{rel} = 93$

%Regularität

$g^*_{H,rel} = 57$

$g^*_{C,rel} = 59$

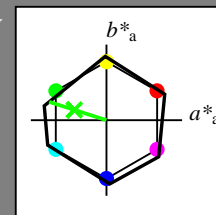


TG220-7, 5 stufige Reihen für konstanten CIELAB Buntton 164/360 = 0.457 (links)

Ausgabe: Farbmimetrisches Reflexions-System NRS11

für Buntton $h^* = lab^*h = 162/360 = 0.451$
 LAB^*LCH , LAB^*NCH

D65: Buntton G
LCH*Ma: 53 80 162
rgb*Ma: 0.08 1.0 0.0



NRS11; adaptierte CIELAB-Daten

	$L^*=L^*_a$	a^*_a	b^*_a	$C^*_{ab,a}$	$h^*_{ab,a}$
RMa	53.2	77.06	34.32	84.36	24
JMa	53.2	-1.51	84.38	84.39	91
GMa	53.2	-82.27	18.98	84.44	167
G50BMa	53.2	-77.72	-32.98	84.44	203
BMa	53.2	4.37	-84.28	84.41	273
B50RMa	53.2	69.09	-48.41	84.37	325
NMa	10.99	0.0	0.0	0.0	0
WMa	95.41	0.0	0.0	0.0	0
RCIE	39.92	58.69	27.98	65.01	25
JCIE	81.26	-2.9	71.56	71.62	92
GCIE	52.23	-42.45	13.59	44.59	162
BCIE	30.57	1.35	-46.48	46.51	272

CIELAB-Helligkeit L^*

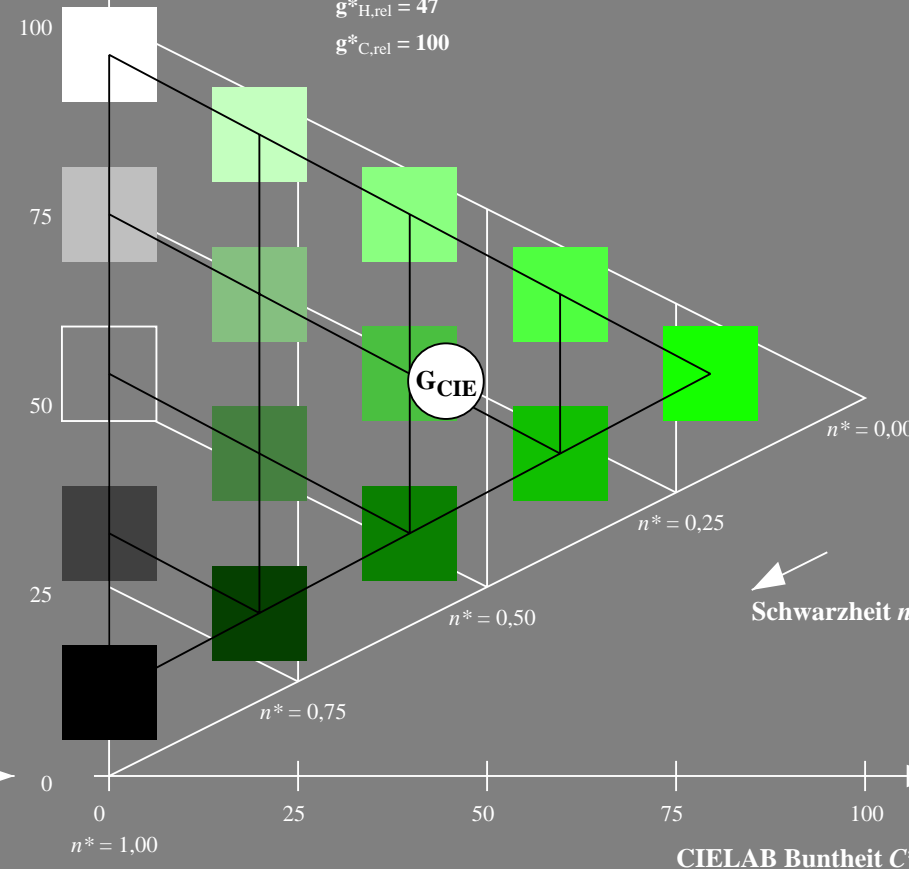
%Umfang

$u^*_{rel} = 119$

%Regularität

$g^*_{H,rel} = 47$

$g^*_{C,rel} = 100$



5 stufige Reihen für konstanten CIELAB Buntton 162/360 = 0.451 (rechts)

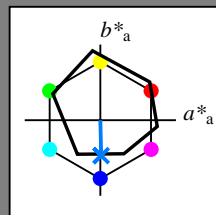
BAM-Prüfvorlage TG22; Farbmimetrische Systeme ORS18 & NRS11 input: $olv^* setrgbcolor$

D65: Koordinaten-Systeme von 5stufigen Farbreihen für 10 Buntton input: no change compared to input

Eingabe: Farbmimetrisches Reflexions-System ORS18

für Buntton $h^* = lab \cdot h = 271/360 = 0.754$
 $lab \cdot tch$ und $lab \cdot nch$

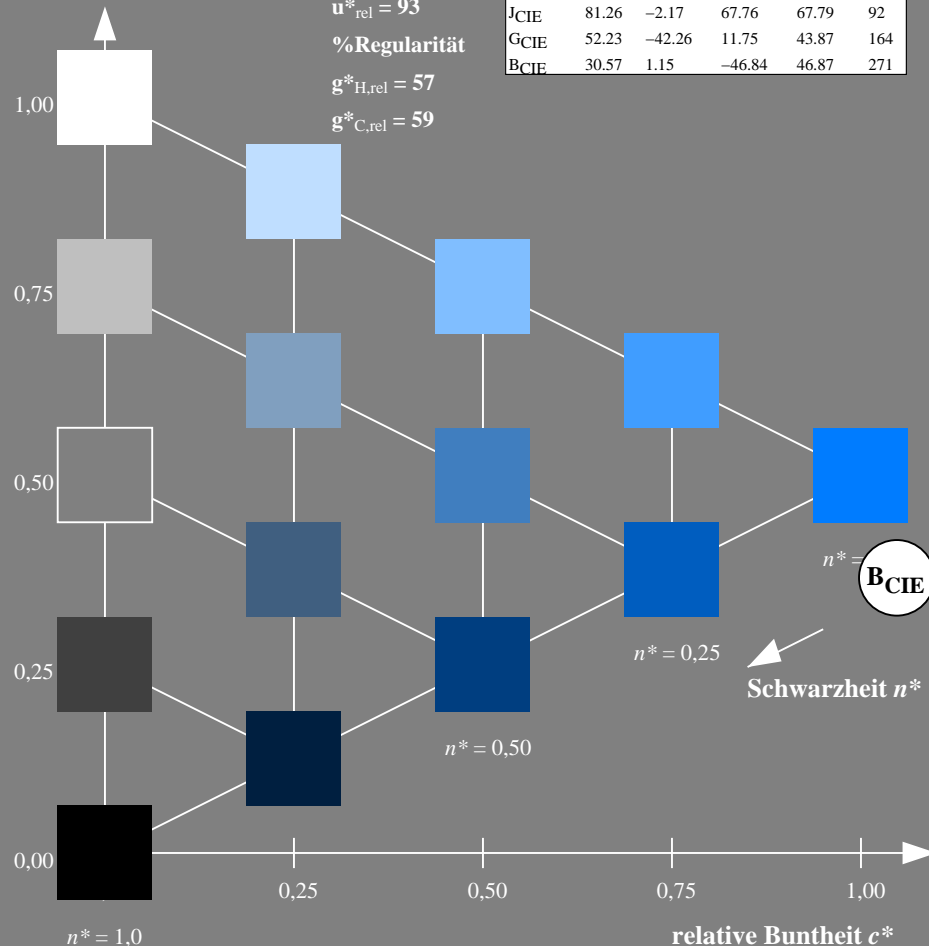
D65: Buntton B
LCH*Ma: 42 45 271
rgb*Ma: 0.0 0.49 1.0



ORS18; adaptierte CIELAB-Daten					
	$L^*=L^*_a$	a^*_a	b^*_a	$C^*_{ab,a}$	$h^*_{ab,a}$
OMa	47.94	65.37	50.52	82.62	38
YMa	90.37	-10.27	91.77	92.34	96
LMa	50.9	-62.79	34.95	71.87	151
CMa	58.62	-30.35	-45.01	54.3	236
VMa	25.71	31.11	-44.42	54.24	305
MMa	48.13	75.27	-8.35	75.73	354
NMa	18.01	0.0	0.0	0.0	0
WMa	95.41	0.0	0.0	0.0	0
RCIE	39.92	58.66	26.98	64.56	25
JCIE	81.26	-2.17	67.76	67.79	92
GCIE	52.23	-42.26	11.75	43.87	164
BCIE	30.57	1.15	-46.84	46.87	271

Dreiecks-Helligkeit t^*

%Umfang
 $u^*_{rel} = 93$
%Regularität
 $g^*_{H,rel} = 57$
 $g^*_{C,rel} = 59$

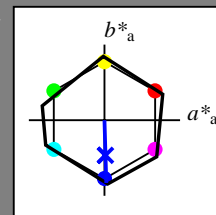


TG220-7, 5 stufige Reihen für konstanten CIELAB Buntton 271/360 = 0.754 (links)

Ausgabe: Farbmimetrisches Reflexions-System NRS11

für Buntton $h^* = lab \cdot h = 272/360 = 0.755$
 $LAB \cdot LCH$, $LAB \cdot NCH$

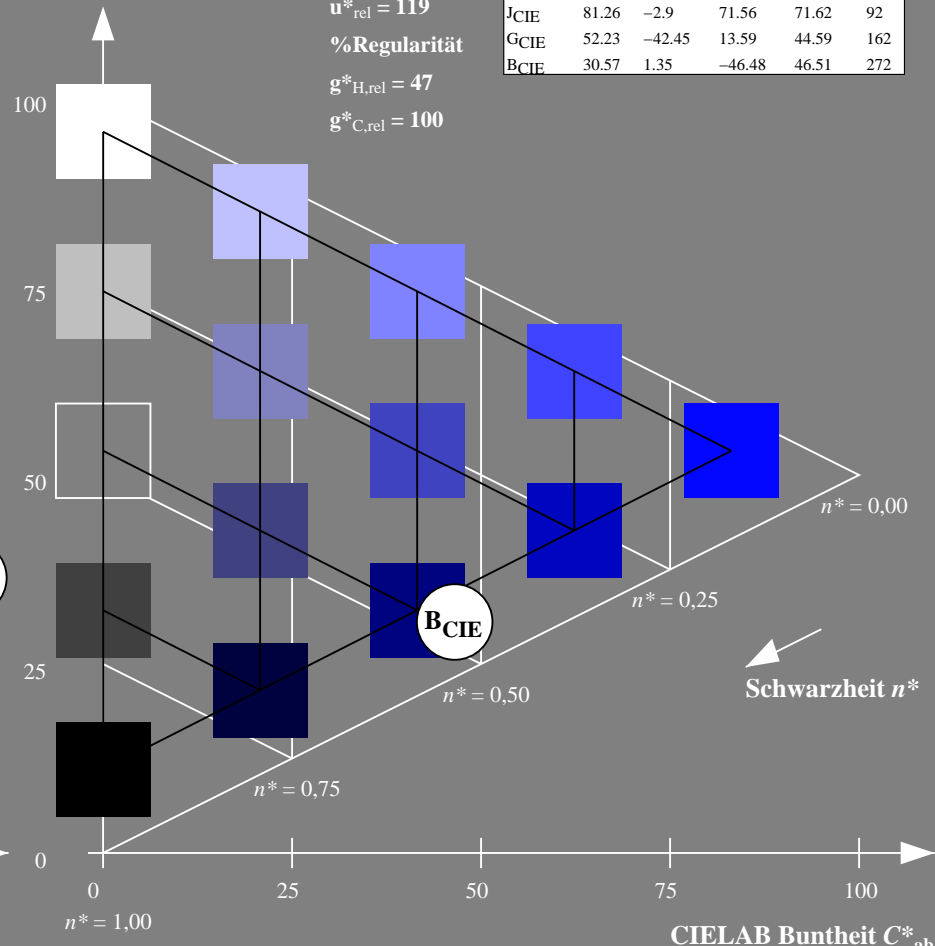
D65: Buntton B
LCH*Ma: 53 83 272
rgb*Ma: 0.0 0.02 1.0



NRS11; adaptierte CIELAB-Daten					
	$L^*=L^*_a$	a^*_a	b^*_a	$C^*_{ab,a}$	$h^*_{ab,a}$
RMa	53.2	77.06	34.32	84.36	24
JMa	53.2	-1.51	84.38	84.39	91
GMa	53.2	-82.27	18.98	84.44	167
G50BMa	53.2	-77.72	-32.98	84.44	203
BMa	53.2	4.37	-84.28	84.41	273
B50RMa	53.2	69.09	-48.41	84.37	325
NMa	10.99	0.0	0.0	0.0	0
WMa	95.41	0.0	0.0	0.0	0
RCIE	39.92	58.69	27.98	65.01	25
JCIE	81.26	-2.9	71.56	71.62	92
GCIE	52.23	-42.45	13.59	44.59	162
BCIE	30.57	1.35	-46.48	46.51	272

CIELAB-Helligkeit L^*

%Umfang
 $u^*_{rel} = 119$
%Regularität
 $g^*_{H,rel} = 47$
 $g^*_{C,rel} = 100$



5 stufige Reihen für konstanten CIELAB Buntton 272/360 = 0.755 (rechts)

BAM-Prüfvorlage TG22; Farbmimetrik-Systeme ORS18 & NRS11 input: olv* setrgbcolor

D65: Koordinaten-Systeme von 5stufigen Farbreihen für 10 Bunttonen input: no change compared to input